

Chapter 5 非線性時變系統的穩定性

一般動態系統的變數(如位置、速度等)都會隨時間變化。然而時變系統所指的『時變』不是指『系統變數』隨時間的變化，而是指『系統參數』隨時間的變化。譬如考慮 RLC 電路方程式： $RLC\ddot{V} + L\dot{V} + RV = 0$ ，其中電阻 R 、電感 L 、電容 C 是系統的參數，電壓 $V(t)$ 是系統的變數。當 R 、 L 、 C 參數都是常數時，則稱此 RLC 電路為非時變系統。上一章所討論的主題即為非時變系統的穩定性分析。當 RLC 電路操作時間拉長，此時電阻 R 會隨溫度而變化，不再能視為定值，而是一個隨時間緩慢變化的參數，則相對應的 RLC 電路方程式變成： $R(t)LC\ddot{V} + L\dot{V} + R(t)V = 0$ ，此即所謂的時變系統。時變系統所對應的方程式為變係數的微分方程式，其解的困難度遠高於常係數微分方程式。時變與非時變系統有時是很難區分的，甚至同一個系統，可以既是時變系統又是非時變系統，端看觀察時間的長短。一朵花在 1 分鐘的觀察尺度內，幾乎沒有變化，可視為非時變系統；但在 24 小時的觀察時間內，花的成長或凋謝過程即會呈現，此時花必須視為時變系統。

5.1 時變系統的穩定性

上一章我們討論了非時變系統(time-invariant systems)： $\dot{x} = f(x)$ 的穩定性，這一章將針對時變系統(time-varying systems)： $\dot{x} = f(x, t)$ 做討論。時變系統的解和初始時間 t_0 有關，其穩定性的判斷和非時變系統有如下的區別。

(A) 平衡點

$x = 0$ 為 $\dot{x} = f(t, x)$ 之平衡點，若滿足

$$f(t, 0) = 0, \forall t \geq 0 \quad (5.1.1)$$

注意上式(5.1.1)中，須對任意 $t \geq 0$ 均要成立，亦即平衡點的位置必須固定，不能隨時間而變。

例題 5.1.1

(a) $\dot{x} = -\frac{a(t)x}{1+x^2} \rightarrow x = 0$ 時， $\dot{x}(t) \equiv 0, \forall t \geq 0$ ，故為平衡點。

(b) $\dot{x} = -a(t)x/(1+x^2) + b(t), b(t) \neq 0$ ，當 $x = 0$ 時， $\dot{x}(t)$ 不恆為 0，因此 $x = 0$ 不為平衡點；若令 $\dot{x} = 0$ ，所解得的 x 隨時間 t 而變，代表此時變系統沒有平衡點的存在。

□

(B) Lyapunov 穩定性

平衡點 $x = 0$ 為 Lyapunov 穩定，若其滿足下列條件：對 $\forall \varepsilon > 0, \forall t_0 \geq 0$ ，恆存在 $\delta = \delta(\varepsilon, t_0)$ 使得

$$\|x(t_0) - 0\| < \delta(\varepsilon, t_0) \Rightarrow \|x(t) - 0\| < \varepsilon, \forall t \geq t_0 \quad (5.1.2)$$

白話翻譯：只要起始值 $x(t_0)$ 取得夠接近原點，則恆可將 $x(t)$ 的全部軌跡控制在任意給定的 ε 半徑內。注意(5.1.2)式中， δ 同時為 ε 和 t_0 之函數。

例題 5.1.2

考慮下列之時變系統[4]:

$$\dot{x} = (6t \sin t - 2t)x \quad (5.1.3)$$

利用分離變數法，上式的解可求得為

$$\begin{aligned} x(t) &= x(t_0) \exp \left[\int_{t_0}^t (6\tau \sin \tau - 2\tau) d\tau \right] \\ &= x(t_0) \exp(6 \sin t - 6t \cos t - t^2 - 6 \sin t_0 + 6t_0 \cos t_0 + t_0^2) \end{aligned} \quad (5.1.4)$$

在上式中，與時間 t 有關的項為 $e^{6 \sin t - 6t \cos t - t^2}$ ，當時間 $t \rightarrow \infty$ 時， $e^{6 \sin t - 6t \cos t - t^2} \rightarrow e^{-t^2} \rightarrow 0$ ，也就是與時間有關的項，其值隨時間遞減，而其他項則與初始時間 t_0 有關，其值設為 $c(t_0)$ 。因此由(5.1.4)式可得到 $x(t)$ 的上界為

$$|x(t)| < |x(t_0)|c(t_0) \quad (5.1.5)$$

在(5.1.2)式中，若取

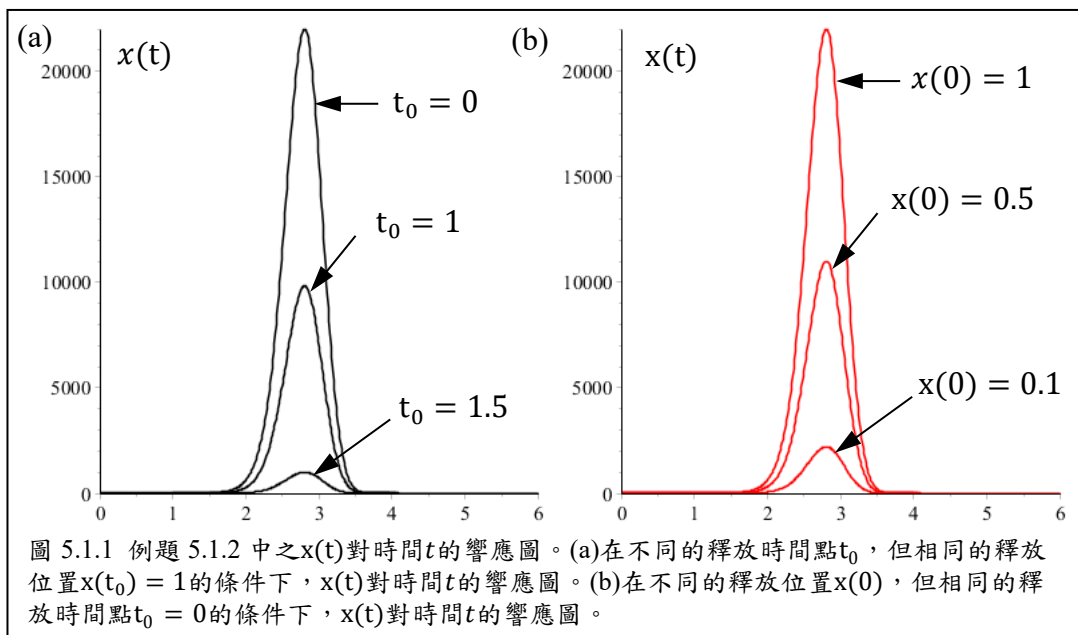
$$\delta(\varepsilon, t_0) = \varepsilon / c(t_0) \quad (5.1.6)$$

則(5.1.2)式可化成

$$|x(t_0)| < \delta(\varepsilon, t_0) = \varepsilon / c(t_0) \Rightarrow |x(t_0)|c(t_0) < \varepsilon \quad (5.1.7)$$

再結合(5.1.5)式與(5.1.7)式，即可得 $|x(t)| < \varepsilon$ 之 Lyapunov 穩定條件。從這個例題可以看到，對於該時變系統而言，保證 $x(t)$ 為 Lyapunov 穩定的初始偏離半徑 $\delta(\varepsilon, t_0)$ 是由初始時間 t_0 所決定，如(5.1.6)式所示。圖 5.1.1a 顯示在不同的釋放時間點 t_0 ，但相同的釋放位置 $x(t_0) = 1$ 的條件下， $x(t)$ 對時間 t 的響應圖。此圖說明 $x(t)$ 對 t_0 的變化非常敏感， t_0 的稍微變化，將導致 $|x(t)| \leq \varepsilon$ 的包絡區間有很大的變化，這是時變系統普遍具有的特性。圖 5.1.1b 則顯示在不同的釋放位置 $x(0)$ ，但相同的釋放時間點 $t_0 = 0$ 的條件下， $x(t)$ 對時間 t 的響應圖。此圖說明初始區間 $|x(t_0)| \leq \delta$ 的微小變化，將導致 $|x(t)| \leq \varepsilon$ 的包絡區間有很大的變化。結合兩者則表明軌跡偏離半徑 ε 同時是初始偏離半徑 δ 和初始時間 t_0 的函數，亦即 $\varepsilon = \varepsilon(\delta, t_0)$ ；反之，如果先給定軌跡偏離半徑 ε 的話，則初始偏離半徑 δ 可用軌跡偏離半徑 ε 和初始時間 t_0 來表示，亦即 $\delta = \delta(\varepsilon, t_0)$ 。

□



(C) 一致穩定性(uniform stability)

當一時變系統的響應收斂速度與 t_0 無關時，稱為一致系統(uniform system)。一個非線性時變系統在任意初始時間 t_0 釋放，都具有 Lyapunov 穩定性，則稱其具有一致穩定性；亦即在(5.1.2)式中的 δ 值和 t_0 無關。

(D) 一致漸進穩定性

一個非線性時變系統具有一致穩定性，同時又具有 $\|x(t)\| \rightarrow 0$ 的特性，則稱其具有一致漸進穩定性。更嚴謹的說法是，存在 $\delta > 0$ 且 δ 和 t_0 無關，使得

$$\|x(t_0) - 0\| < \delta \Rightarrow \|x(t) - 0\| \rightarrow 0, t \rightarrow \infty \quad (5.1.8)$$

(E) 指數穩定性

$\dot{x} = f(t, x)$ 的平衡點 $x = 0$ 為指數穩定，若存在二個與 t_0 無關的正數 α 和 λ 使得 $x(t)$ 滿足

$$\|x(t)\| \leq \alpha \|x_0\| e^{-\lambda(t-t_0)}, \forall t \geq t_0$$

(5.1.9)

(F) 全域漸進穩定

$\dot{x} = f(t, x)$ 的平衡點 $x = 0$ 為全域漸近穩定，若對於任意起始點 $x(t_0)$ ， $x(t)$ 恒趨近於0，當 $t \rightarrow \infty$ 時。

例題 5.1.3

試考慮一階非線性時變系統[5]

$$\dot{x} = -\frac{x}{1+t}$$

其通解為

$$x(t) = \frac{1+t_0}{1+t} x(t_0)$$

當 t_0 越大時， $x(t) \rightarrow 0$ 所需的時間也越長 \Rightarrow 不一致(non-uniform)系統

□

(G) 時變 Lyapunov 函數

證明非線性時變系統的穩定性須要用到時變 Lyapunov 函數的操作。對於時變 Lyapunov 函數 $V(x, t)$ ，其為正定的條件是：

$$V(x, t) > 0 \Rightarrow V(x, t) \geq V_0(x) > 0, \forall t \geq t_0 \quad (5.1.10)$$

其中 $V_0(x) > 0$ 為一非時變的正定函數。而 $V(x, t)$ 對時間的微分則變為

$$\dot{V} = \frac{dV(x, t)}{dt} = \frac{\partial V}{\partial t} + \frac{\partial V}{\partial x} \dot{x} = \frac{\partial V}{\partial t} + \begin{bmatrix} \frac{\partial V}{\partial x_1} & \frac{\partial V}{\partial x_2} & \cdots & \frac{\partial V}{\partial x_n} \end{bmatrix} \begin{bmatrix} \dot{x}_1 \\ \dot{x}_2 \\ \vdots \\ \dot{x}_n \end{bmatrix} \quad (5.1.11)$$

若存在 Lyapunov 函數滿足(1) $V(0, t) = 0$ ，(2) $V(x, t) > 0$ ，(3) $\dot{V} \leq 0$ ，則非線性時變系統 $\dot{x} = f(t, x)$ 在的平衡點 $x = 0$ 處，具有 Lyapunov 穩定性。

5.2 一致穩定性定理

時變非線性系統 $\dot{x} = f(x, t)$ 的解的穩定性通常和初始時間 t_0 有關。一致穩定性要求

Lyapunov 穩定的收斂區間 $\|x(t_0)\| < \delta(\varepsilon, t_0)$ 必須與初始時間 t_0 無關。為了滿足此一額外的要求，Lyapunov 函數除了要滿足 $V > 0$ 與 $\dot{V} \leq 0$ 之外，還要多滿足一個條件。

一致穩定性定理：

若存在 Lyapunov 函數 $V(x, t)$ 滿足

$$(1) V(0, t) = 0, \forall t \geq t_0$$

$$(2) V(x, t) \geq V_0(x) > 0, \forall t \geq t_0$$

$$(3) \dot{V}(x, t) = \frac{\partial V}{\partial t} + \frac{\partial V}{\partial x} \dot{x} \leq 0, \forall t \geq t_0$$

$$(4) V(x, t) \leq V_1(x) > 0, \forall t \geq t_0$$

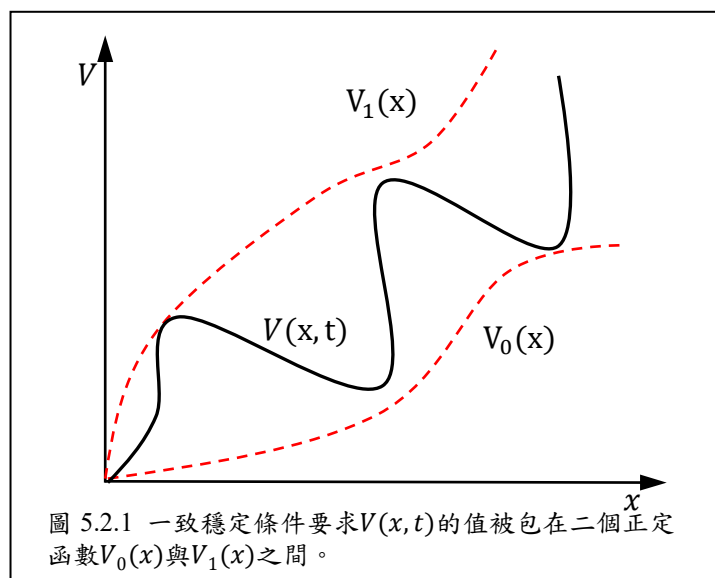
則非線性時變系統 $\dot{x} = f(t, x)$ 在平衡點 $x = 0$ 處，具有 Lyapunov 一致穩定性。

□

滿足條件(4)的函數 V 又稱為 decrescent 函數。結合條件(2)及條件(4)，這相當於一致穩定條件要求 $V(x, t)$ 的值被包夾在二個正定函數 $V_0(x)$ 與 $V_1(x)$ 之間，

$$0 < V_0(x) \leq V(x, t) \leq V_1(x), \forall t \geq t_0 \quad (5.2.1)$$

如圖 5.2.1 所示。特別注意 $V_0(x)$ 與 $V_1(x)$ 的函數值與時間 t 無關。



例題 5.2.1

對於時變函數

$$V(x, t) = (1 + \sin^2 t)(x_1^2 + x_2^2)$$

注意 $V(x, t)$ 可用二個函數左右包住：

$$x_1^2 + x_2^2 \leq V(x, t) \leq 2(x_1^2 + x_2^2)$$

因此

$$V(x, t) \geq V_0(x) = x_1^2 + x_2^2 > 0 \rightarrow V \text{ 為正定}$$

$$V(x, t) \leq V_1(x) = 2(x_1^2 + x_2^2) \rightarrow V \text{ 為 decrescent}$$

□

例題 5.2.2

試考慮二階線性時變系統[5]

$$\begin{aligned}\dot{x}_1(t) &= -x_1(t) - e^{-2t}x_2(t) \\ \dot{x}_2(t) &= x_1(t) - x_2(t)\end{aligned}\quad (5.2.2)$$

選擇 Lyapunov 函數如下

$$V(x, t) = x_1^2 + (1 + e^{-2t})x_2^2 \quad (5.2.3)$$

因為 $0 \leq e^{-2t} \leq 1$ ，故知 V 滿足下列不等關係

$$x_1^2 + x_2^2 \leq V(x, t) \leq x_1^2 + 2x_2^2 \quad (5.2.4)$$

另一方面

$$\begin{aligned}\dot{V} &= \frac{\partial V}{\partial t} + \frac{\partial V}{\partial x} \dot{x} = -2[x_1^2 - x_1x_2 + x_2^2(1 + 2e^{-2t})] \\ &\leq -2(x_1^2 - x_1x_2 + x_2^2) \\ &= -(x_1 - x_2)^2 - x_1^2 - x_2^2 < 0, \forall x \neq 0\end{aligned}$$

故 $x = 0$ 具有一致漸進穩定，且為全域的。 $(\because \|x\| \rightarrow \infty, V(x) \rightarrow \infty)$

□

例題 5.2.3

考慮(5.2.3)式的廣義化情形[4]:

$$\begin{aligned}\dot{x}_1(t) &= -x_1(t) - g(t)x_2(t) \\ \dot{x}_2(t) &= x_1(t) - x_2(t)\end{aligned}\quad (5.2.5)$$

其中若取 $g(t) = e^{-2t}$ ，則(5.2.5)式即化為(5.2.2)式的特例。這裡我們所感興趣的是滿足甚麼條件的 $g(t)$ 函數才能使得(5.2.5)的系統為一致漸進穩定。仿照(5.2.3)式的 Lyapunov 函數的設定，對於(5.2.5)式的 Lyapunov 函數，可以推論為下列之形式：

$$V(x, t) = x_1^2 + (1 + g(t))x_2^2 \quad (5.2.6)$$

為了使得此一 $V(x, t)$ 滿足如(5.2.4)之限制條件， $g(t)$ 函數必須被限制在某一正區間之內：

$$0 \leq g(t) \leq k \quad (5.2.7)$$

在此一條件下， $V(x, t)$ 的值被二正定函數所包夾：

$$x_1^2 + x_2^2 \leq V(x, t) \leq x_1^2 + (1 + k)x_2^2 \quad (5.2.8)$$

同時 $g(t)$ 函數也必須滿足 $\dot{V} \leq 0$ 的條件，其中 V 對 t 的全微分可計算如下：

$$\dot{V} = 2x_1\dot{x}_1 + 2(1 + g(t))x_2\dot{x}_2 + \dot{g}x_2^2$$

將(5.2.5)式的 \dot{x}_1 與 \dot{x}_2 代入上式化簡，得到

$$\dot{V} = -x_1^2 - (x_1 - x_2)^2 + (\dot{g} - 2g - 1)x_2^2 \quad (5.2.9)$$

為了確保 $\dot{V} \leq 0$ 條件的成立， $g(t)$ 函數並須使得 $\dot{g} - 2g - 1 \leq 0$ ，亦即

$$\dot{g} \leq 2g + 1 \quad (5.2.10)$$

同時滿足(5.2.7)式與(5.2.10)式的 $g(t)$ 函數可保證(5.2.5)式的時變系統為全域一致漸進穩定，其中的一致性源自(5.2.8)式的條件；漸進穩定是因為在(5.2.9)式中，除了平衡點 $x_1 = x_2 = 0$ 之外，恆有 $\dot{V} < 0$ ；全域性是因為(5.2.6)式中的 V 滿足 radially unbounded 的條件，即當 $x \rightarrow \infty$ 時， $V \rightarrow \infty$ 。例題 5.2.2 是考慮 $g(t) = e^{-2t}$ 的特殊情形，此一 $g(t)$ 確實能同時滿足(5.2.7)式與(5.2.10)式的限制條件。



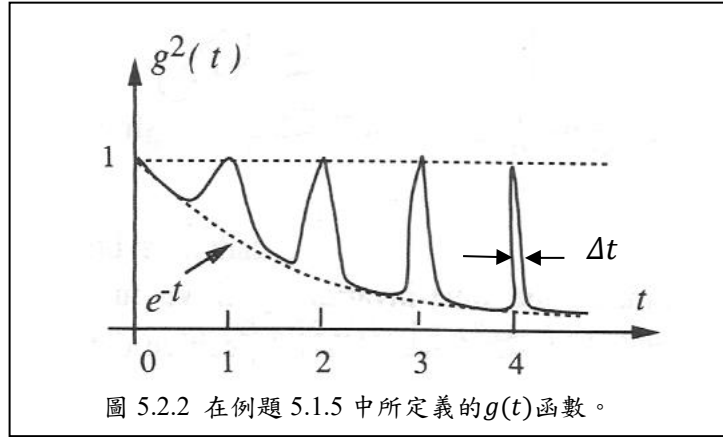
在一致穩定的條件中，除了原有的 Lyapunov 穩定條件， $V(x, t) > 0$ ， $\dot{V} \leq 0$ 之外，還必須加上 decrescent 條件 $V(x, t) \leq V_1(x)$ ，才能確保收斂性不會受到初始條件 t_0 的影響。下面我們舉一個反例說明若 decrescent 條件沒被滿足，則將失去一致穩定的特性。

例題 5.2.4

考慮以下的時變系統

$$\dot{x} = \frac{\dot{g}(t)}{g(t)} x \quad (5.2.11)$$

其中 $g(t)$ 函數如圖 5.2.2 中的定義。可以看到 $g^2(t)$ 隨時間遞減，其行為類似指數遞減函數 e^{-t} ，但不同的地方在於時間 t 等於正整數時， $g^2(t)$ 的值會突升到 1，然後又迅速降回到 e^{-t} 。



假設 $g^2(t)$ 的函數值在 $t = n$ 時，突升到 1 的時間脈衝寬度滿足 $\Delta t \leq (1/2)^n$ 之條件。在此假設下， $g^2(t)$ 與時間軸所圍的面積可估算如下：

$$\begin{aligned} \int_0^\infty g^2(\tau) d\tau &< \int_0^\infty e^{-\tau} d\tau + \sum_{n=1}^\infty \frac{1}{2^n} \cdot 1 \\ &= [-e^{-\tau}]_0^\infty + \frac{1/2}{1-(1/2)} = 2 \end{aligned} \quad (5.2.12)$$

利用以上的特性，我們選取如下的 Lyapunov 函數

$$V(x, t) = \frac{x^2}{g^2(t)} \left[3 - \int_0^t g^2(\tau) d\tau \right] \quad (5.2.13)$$

由(5.2.12)式，可以證明此 $V(x, t)$ 函數必為正定：

$$V(x, t) \geq \frac{x^2}{g^2(t)} \left[3 - \int_0^\infty g^2(\tau) d\tau \right] > \frac{x^2}{g^2(t)} \geq x^2 > 0$$

也就是滿足(5.2.1)之正定條件： $V(x, t) \geq V_0(x) > 0$ 。同時也可證明 V 滿足 $\dot{V} < 0$ 之條件，對(5.2.13)式取對時間的全微分，得到

$$\begin{aligned} \dot{V} &= \frac{\partial V}{\partial t} + \frac{\partial V}{\partial x} \dot{x} \\ &= -\frac{2x^2 \dot{g}(t)}{g^3(t)} \left[3 - \int_0^t g^2(\tau) d\tau \right] - x^2 + \frac{2x\dot{x}}{g^2(t)} \left[3 - \int_0^t g^2(\tau) d\tau \right] \end{aligned} \quad (5.2.14)$$

將(5.2.11)式的 \dot{x} 代入上式化簡，可得如下簡單結果：

$$\dot{V} = -x^2 < 0$$

至此我們證明了(5.2.13)中的 Lyapunov 函數滿足 $V > 0$ 且 $\dot{V} < 0$ 的條件，亦即系統(5.2.11)為 Lyapunov 穩定。在另一方面，觀察(5.2.13)式中，因為 $g^2(t)$ 依時間的指數函數遞減， $V(x, t)$ 的值則依時間的指數函數遞增，且 $V(x, t) \rightarrow \infty$ ，當 $t \rightarrow \infty$ ，所以不存在一個與時間無關的上限函數可以包住 $V(x, t)$ ，亦即滿足條件 $V(x, t) \leq V_1(x)$ 之 $V_1(x)$ 函數不存在。這說明(5.2.13)中的 Lyapunov 函數並不滿足 decrescent 條件，故依據一致穩定性定理，此 Lyapunov 函數不能保證系統具有一致穩定的特性。

實際上(5.2.11)式具有解析解，利用變數分離並積分，可得此式的解為

$$x(t) = \frac{g(t)}{g(t_0)} x(t_0) \quad (5.2.15)$$

首先確認 $x(t)$ 具有 Lyapunov 穩定性。從圖 5.2.2 可看到函數 $g(t)$ 滿足 $|g(t)| \leq 1$ 之條件，因此由(5.2.15)式可得到

$$|x(t)| = \left| \frac{g(t)}{g(t_0)} x(t_0) \right| \leq |x(t_0)| / |g(t_0)|, \forall t \geq t_0$$

因此若要得到 $|x(t)| \leq \varepsilon$ 的 Lyapunov 穩定條件，只須令 $|x(t_0)| / |g(t_0)| \leq \varepsilon$ 即可，從而得到初始位置 $x(t_0)$ 所要滿足的條件：

$$|x(t_0)| \leq \varepsilon |g(t_0)| = \delta(\varepsilon, t_0)$$

比對(5.1.2)式的定義，可知系統確為 Lyapunov 穩定，但是由於收斂半徑 $\delta(\varepsilon, t_0)$ 是初始時間 t_0 的函數，故不具有 consistency 的特性。這也正是先前我們為何找不到 decrescent Lyapunov 函數的原因。以上例題說明 decrescent 條件的重要性，一個 Lyapunov 函數若不滿足 decrescent 條件，則不能保證系統具有一致收斂的特性。

5.3 線性時變系統的穩定性

上一節所介紹的是透過 Lyapunov 直接定理，利用 Lyapunov 函數 V 的存在性判斷一個非線性時變系統 $\dot{x} = f(x, t)$ 是否為穩定。在另一方面，我們亦可透過 Lyapunov 間接定理，先將 $\dot{x} = f(x, t)$ 線性化成 $\dot{x} = A(t)x$ ，再利用此一線性化時變系統的穩定性來判斷原來非線性時變系統 $\dot{x} = f(x, t)$ 的穩定性。因此為了使用 Lyapunov 間接定理，我們必須先學會判斷線性時變系統的穩定性。

對於一個線性時變系統

$$\dot{x} = A(t)x \quad (5.3.1)$$

我們可以利用矩陣 $A(t)$ 的特徵值來判斷系統的穩定性嗎？直覺的想法應該是可行的，因為對於線性非時變系統 $\dot{x} = Ax$ ，我們確實可以透過常數 A 矩陣的特徵值的正負，來判斷 $\dot{x} = Ax$ 的穩定性。然而對於(5.3.1)式的時變系統而言，在不同的瞬間 t ， $A(t)$ 之特徵值可能不相同，也就是特徵值 $\lambda(t)$ 變成是時間的函數。因為特徵值 $\lambda(t)$ 有時候為正，有時候為負，難道系統(5.3.1)有時候是穩定，有時候是不穩定嗎？更有甚者，如果特徵值 $\lambda(t)$ 在所有時間均為負值，就可以保證系統(5.3.1)為穩定嗎？

不幸的是我們先前對於非時變系統 $\dot{x} = Ax$ 的穩定性判斷準則無法直接用在時變系統 $\dot{x} = A(t)x$ 之上。也就是說，儘管對 $\forall t \geq 0$ ， $A(t)$ 之特徵值均為負，也無法保證平衡點為穩定，亦即下列的判斷

$$\lambda_i(A(t)) < 0 \rightarrow \lim_{t \rightarrow \infty} x(t) = 0$$

對於時變系統(5.3.1)是不成立的。

例如考慮下面之時變系統：

$$\begin{bmatrix} \dot{x}_1 \\ \dot{x}_2 \end{bmatrix} = \begin{bmatrix} -1 & e^{2t} \\ 0 & -1 \end{bmatrix} \begin{bmatrix} x_1 \\ x_2 \end{bmatrix}$$

(5.3.2)

$A(t)$ 之特徵值可由關係式 $\det(\lambda I - A) = 0$ ，求得為

$$\begin{vmatrix} \lambda + 1 & -e^{2t} \\ 0 & \lambda + 1 \end{vmatrix} = 0 \Rightarrow (\lambda + 1)^2 = 0, \lambda = -1, \forall t \geq 0 \quad (5.3.3)$$

亦即 $A(t)$ 之特徵值恆為 $\lambda = -1$ 且與時間無關。線性非時變分析給我們的直覺是該系統應為穩定，結果卻不然。(5.3.2)式的解可直接求得為

$$x_1(t) = C_1 e^{-t} + \frac{1}{2} C_2 e^t, x_2(t) = C_2 e^{-t}$$

吾人發現 $t \rightarrow \infty$ 時， $x_1(t) \rightarrow \infty$ 。因此單純由 $A(t)$ 之特徵值無法判斷 $A(t)$ 的穩定性。這說明時變系統的特徵值已不再具有絕對的影響性，其值的正負不再能表示系統的穩定性。下面再舉一例凸顯這樣的事實。

例題 5.3.1

考慮線性時變系統[4]

$$\dot{x} = A(t)x \quad (5.3.4)$$

其中

$$A = \begin{bmatrix} -1 + 1.5\cos^2 t & 1 - 1.5\sin t \cos t \\ -1 - 1.5\sin t \cos t & -1 + 1.5\sin^2 t \end{bmatrix} \quad (5.3.5)$$

其解 $x(t)$ 可寫成

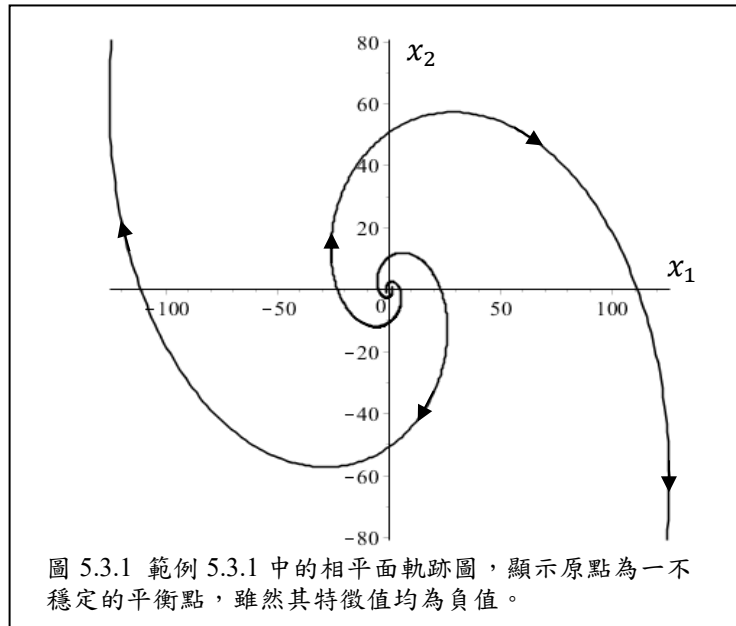
$$x(t) = \Phi(t, 0)x(0) = \begin{bmatrix} e^{0.5t} \cos t & e^{-t} \sin t \\ -e^{0.5t} \sin t & e^{-t} \cos t \end{bmatrix} \begin{bmatrix} x_1(0) \\ x_2(0) \end{bmatrix} \quad (5.3.6)$$

其中 $\Phi(t, 0)$ 稱為時間0到 t 之間的狀態傳輸函數(State Transition Matrix)。由於發散項 $e^{0.5t}$ 的存在，上式表示當 $t \rightarrow \infty$ 時， $x(t) \rightarrow \infty$ 。但是如果計算 A 的特徵值，我們發現

$$|\lambda I - A| = 0 \rightarrow \lambda_{1,2} = -0.25 \pm 0.25\sqrt{7}i$$

此二特徵值不隨時間改變，且位於左半面，若以線性系統的角度而言， $x(t)$ 應為穩定，但實際上不然。(5.3.4)式的相平面軌跡如圖 5.3.1 式所示，說明原點為一不穩定的平衡點。可見時變系統的穩定性無法單獨藉由特徵值的正負來加以判斷。

□



下面我們介紹幾種判斷線性時變系統穩定性的常用方法。

● **線性時變系統穩定定理 1(充分條件)**

對於線性時變系統 $\dot{x} = A(t)x$ ，若 $A(t) + A^T(t)$ 的所有特徵值在任意時間下均為負值，亦即

$$\lambda_i(A(t) + A^T(t)) < 0, \forall t \geq 0 \quad (5.3.7)$$

則 $x = 0$ 具有一致漸進穩定性，又因為是線性系統，所以此穩定也是全域的。

證明：

茲選擇 Lyapunov 函數 $V = x^T x$ ，並設 $\lambda_i(A(t) + A^T(t)) < -\lambda_{\min} < 0$ 。注意：因為對稱，所以 $A(t) + A^T(t)$ 之特徵值恒為實數。此時

$$\dot{V} = x^T \dot{x} + \dot{x}^T x = x^T (A(t) + A^T(t)) x \leq -\lambda_{\min} x^T x = -\lambda_{\min} V \quad (5.3.8)$$

因此

$$x^T x = V(t) \leq V(0)e^{-\lambda_{\min} t}, \forall t \geq 0 \quad (5.3.9)$$

故知原系統為漸進穩定且為指數穩定，收斂速度為 λ_{\min} 。

□

例題 5.3.2

再一次考慮例題 5.2.2 中之時變系統：

$$\begin{aligned} \dot{x}_1(t) &= -x_1(t) - e^{-2t}x_2(t) \\ \dot{x}_2(t) &= x_1(t) - x_2(t) \end{aligned} \quad (5.3.10)$$

在例題 5.2.2 中，我們已經用 Lyapunov 直接定理證明此一系統為穩定。由於這是一個線性時變系統，我們可以利用(5.3.7)式的新條件來重新測試此系統的穩定性。首先將(5.3.10)式表成矩陣的形式：

$$\begin{bmatrix} \dot{x}_1 \\ \dot{x}_2 \end{bmatrix} = \begin{bmatrix} -1 & -e^{-2t} \\ 1 & -1 \end{bmatrix} \begin{bmatrix} x_1 \\ x_2 \end{bmatrix} = A x$$

故得

$$A + A^T = \begin{bmatrix} -1 & -e^{-2t} \\ 1 & -1 \end{bmatrix} + \begin{bmatrix} -1 & 1 \\ -e^{-2t} & -1 \end{bmatrix} = \begin{bmatrix} -2 & 1 - e^{-2t} \\ 1 - e^{-2t} & -2 \end{bmatrix}$$

其次計算 $A + A^T$ 的特徵值如下：

$$|\lambda I - (A + A^T)| = 0 \rightarrow \begin{vmatrix} \lambda + 2 & -(1 - e^{-2t}) \\ -(1 - e^{-2t}) & \lambda + 2 \end{vmatrix} = 0$$

求解得到 $A + A^T$ 的特徵值為

$$\lambda_1(t) = -1 - e^{-2t}, \lambda_2(t) = -3 + e^{-2t}, \forall t \geq 0$$

因為二個特徵值均為負，故由(5.3.7)式的定理知時變系統(5.3.10)為一致漸進穩定，此一結論與用 Lyapunov 直接定理所得到者相同，如例題 5.2.2 中的討論。同時又因 $\lambda_i(t) \leq -\lambda_{\min} = -1$ ， $\forall t \geq 0$ ，故由(5.3.9)式可知該系統亦為指數穩定，指數收斂速度為 $\lambda_{\min} = 1$ 。以上的理論預測結果可與(5.3.10)式的實際求解互相驗證比較。求解得到的相平面軌跡如圖 5.3.2a 所示，可以看到軌跡從四面八方以螺旋的方式收斂到平衡點(即原點)，證實平衡點為全域漸進穩定。(b)、(c)、(d)三圖顯示在三個不同初始時間下， $x_1(t)$ 與 $x_2(t)$ 對時間的響應圖。結果說明系統的收斂性與 t_0 無關，代表該系統具有一致穩定的特性。在圖 5.3.2b 中同時比較了 $x_1(t)$ 與 $x_2(t)$ 的收斂速度與指數函數 $2e^{-t}$ 的收斂速度。如同上面的預測， $x_1(t)$ 與 $x_2(t)$ 遵循指數函數 e^{-t} 的趨勢遞減到零，相當於系統的收斂速度約為 $\lambda_{\min} = 1$ 。

除了與數值計算的結果比較外，實際上(5.3.10)式具有解析解的形式

$$\begin{aligned} x_1(t) &= C_1 e^{-2t} Y(1, e^{-t}) + C_2 e^{-2t} J(1, e^{-t}) \\ x_2(t) &= C_1 e^{-t} J(0, e^{-t}) + C_2 e^{-t} Y(0, e^{-t}) \end{aligned}$$

其中 $J(0, x)$ 與 $J(1, x)$ 分別是零階與一階的 J 型 Bessel(貝索)函數， $Y(0, x)$ 與 $Y(1, x)$ 分別是零階與一階的 Y 型 Bessel(貝索)函數。待定常數 C_1 和 C_2 則是由初始條件 $x_1(0)$ 與 $x_2(0)$ 所決定。解析解顯示 $x_1(t)$ 與 $x_2(t)$ 均是 e^{-t} 的函數，這正說明了為何該系統具有指數函數 e^{-t} 的遞減趨勢。

□

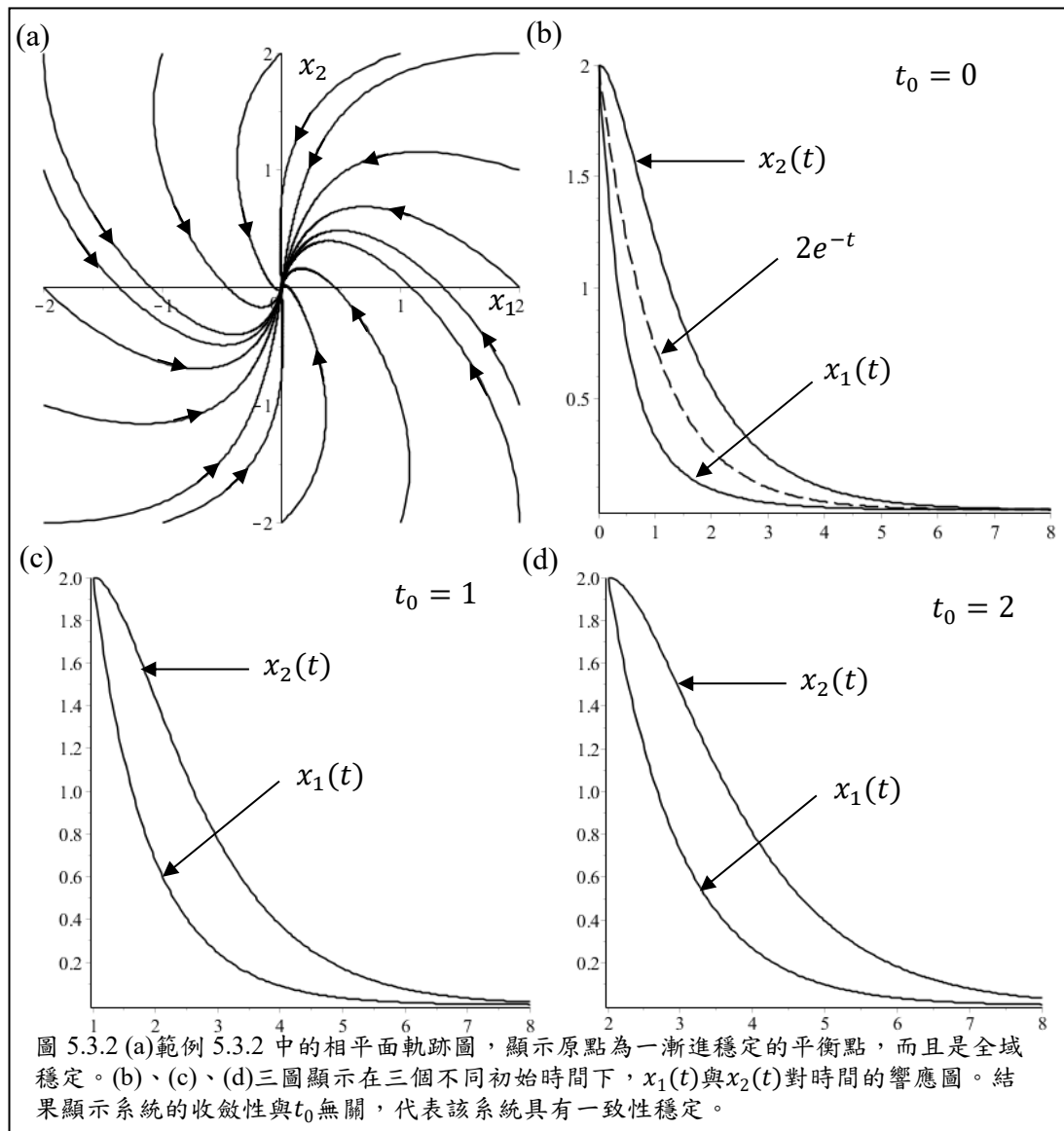


圖 5.3.2 (a) 範例 5.3.2 中的相平面軌跡圖，顯示原點為一漸進穩定的平衡點，而且是全域穩定。(b)、(c)、(d) 三圖顯示在三個不同初始時間下， $x_1(t)$ 與 $x_2(t)$ 對時間的響應圖。結果顯示系統的收斂性與 t_0 無關，代表該系統具有一致性穩定。

由以上的定理與例題，我們了解到對於時變系統 $\dot{x} = A(t)x$ 而言，決定穩定性的關鍵不是 $A(t)$ 的特徵值，而是 $A(t) + A^T(t)$ 的特徵值。在另一方面我們也要注意，(5.3.7) 式的定理只是充分條件，而非必要條件。亦即如果 $A(t) + A^T(t)$ 的特徵值為正值時，不代表時變系統 $\dot{x} = A(t)x$ 就是不穩定。以下例題剛好可以反映此一事實。

例題 5.3.3

考慮下列之變係數常微分方程式[3]

$$\ddot{x}(t) + \dot{x}(t) + (2 + \sin t)x(t) = 0 \quad (5.3.11)$$

判斷其是否為一致性漸進穩定。首先我們利用(5.3.7)式的判斷準則，先將上式表成線性時變系統的形式，令 $x_1 = x$ ， $x_2 = \dot{x}$ ，得到

$$\begin{bmatrix} \dot{x}_1 \\ \dot{x}_2 \end{bmatrix} = \begin{bmatrix} 0 & 1 \\ -(2 + \sin t) & -1 \end{bmatrix} \begin{bmatrix} x_1 \\ x_2 \end{bmatrix} = Ax \quad (5.3.12)$$

計算 $A + A^T$ 的特徵值如下：

$$|\lambda I - (A + A^T)| = 0 \rightarrow \begin{vmatrix} \lambda & 1 + \sin t \\ 1 + \sin t & \lambda + 2 \end{vmatrix} = 0$$

求解得到 $A + A^T$ 的特徵值為

$$\lambda^2 + 2\lambda - (1 + \sin t)^2 = 0 \rightarrow \lambda = -1 \pm \sqrt{1 + (1 + \sin t)^2}$$

發現有一正根，有一負根，不滿足(5.3.7)式的判斷條件 $\lambda_i(A(t) + A^T(t)) < 0$ 。然則此一條件僅是充分條件，條件不滿足並不表示系統就是不穩定。

注意導致條件(5.3.7)的 Lyapunov 函數為 $V(x) = x^T x$ ，所以我們只能說此一 Lyapunov 函數無法確認系統(5.3.12)式的穩定性。有可能存在其他形式的 Lyapunov 函數可使得(5.3.12)式為穩定。我們嘗試另一種可能的 Lyapunov 函數如下：

$$V(x_1, x_2, t) = x_1^2 + \frac{x_2^2}{2 + \sin t} \quad (5.3.13)$$

容易看到此一 Lyapunov 函數為二個正定函數所包圍：

$$x_1^2 + x_2^2/3 \leq V(x, t) \leq x_1^2 + x_2^2 \quad (5.3.14)$$

因此 V 滿足正定及 decrescent 的條件。其次對(5.3.13)式取對時間 t 的微分，得到

$$\dot{V}(x, t) = \frac{\partial V}{\partial t} + \frac{\partial V}{\partial x} \dot{x} = \frac{-x_2^2 \cos t}{(2 + \sin t)^2} + 2x_1 \dot{x}_1 + \frac{2x_2 \dot{x}_2}{2 + \sin t}$$

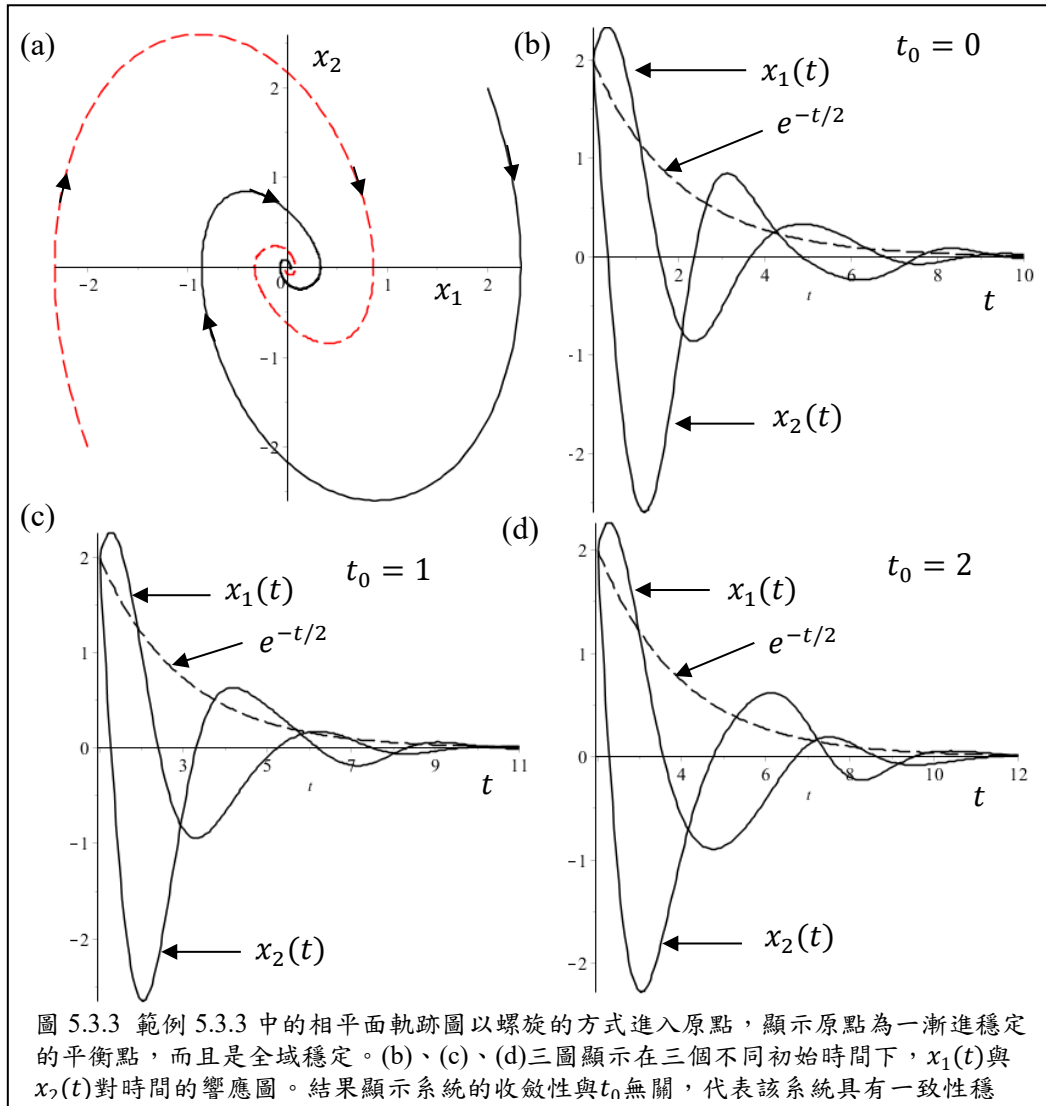
將(5.3.12)式中的 \dot{x}_1 與 \dot{x}_2 代入上式化簡，得到

$$\begin{aligned} \dot{V}(x, t) &= \frac{-x_2^2 \cos t}{(2 + \sin t)^2} + 2x_1 x_2 + \frac{2x_2}{2 + \sin t} [-x_2 - (2 + \sin t)x_1] \\ &= -\frac{4 + 2\sin t + \cos t}{(2 + \sin t)^2} x_2^2 \leq 0 \end{aligned} \quad (5.3.15)$$

結合(5.3.14)式與(5.3.15)式，我們證實(5.3.12)式的系統具有一致性的 Lyapunov 穩定性，雖然特徵值條件 $\lambda_i(A(t) + A^T(t)) < 0$ 在此系統中並沒有被滿足。數值計算結果如圖 5.3.3 所示，相平面軌跡圖以螺旋的方式進入原點，顯示原點為一漸進穩定的平衡點，而且是全域穩定。(b)、(c)、(d)三子圖顯示在三個不同初始時間下， $x_1(t)$ 與 $x_2(t)$ 對時間的響應圖。結果說明系統的收斂性與 t_0 無關，代表該系統具有一致性穩定。圖 5.3.3b 同時展示 $x_1(t)$ 與 $x_2(t)$ 的遞減趨勢與指數函數 $e^{-t/2}$ 相同，此說明該系統的遞減速度為 $1/2$ 。

□

本例題再一次說明條件 $\lambda_i(A(t) + A^T(t)) < 0$ 只是系統穩定的一個充分條件，當此條件不滿足時，我們無法獲得任何結論，必須再配合其他測試穩定性的條件，才能知道系統穩定與否。



對於線性非時變系統 $\dot{x} = Ax$ 的穩定性判斷而言，除了測試矩陣 A 的特徵值正負外，也可透過 Lyapunov 矩陣方程式 $PA + A^T P + Q = 0$ 的求解，由 P 、 Q 矩陣的正定性來確認系統的穩定性。基於相同的道理，對於線性時變系統 $\dot{x} = A(t)x$ 而言，除了特徵值 $\lambda_i(A(t) + A^T(t)) < 0$ 的判斷外，也有類似 Lyapunov 矩陣方程式的判斷準則。

● 線性時變系統穩定定理 2(充分條件)

線性時變系統 $\dot{x} = A(t)x$ 在 $x = 0$ 為一致漸進穩定，若存在 P 滿足

$$0 < C_1 I \leq P(t) \leq C_2 I, \forall t \geq 0 \quad (5.3.16a)$$

$$-\dot{P}(t) = P(t)A(t) + A^T(t)P(t) + Q(t) \quad (5.3.16b)$$

其中 $Q(t)$ 為連續，對稱且正定之矩陣：

$$Q(t) \geq C_3 I > 0 \quad (5.3.17)$$

(5.3.16b)稱為時變 Lyapunov 矩陣方程式。當 $P(t)$ 達到穩態時， $P(t) \rightarrow P$ ，此時 $\dot{P} = 0$ ，則(5.3.16b)式即趨近於非時變 Lyapunov 矩陣方程式 $PA + A^T P + Q = 0$ 。

證明：

可取 Lyapunov 函數如下

$$V(t, x) = x^T P(t) x \quad (5.3.18)$$

對(5.3.16a)式從左、右側各乘以 x^T 及 x ，可得

$$V_0(x) = C_1 x^T x \leq V(t, x) \leq C_2 x^T x = V_1(x) \quad (5.3.19)$$

故知 $V(t, x)$ 為正定且 decrescent，且 $V(t, x)$ 為徑向無界(radially unbounded)，因為當 $x \rightarrow \infty$ 時， $\alpha(x) \rightarrow \infty$ 。現在只剩下 $\dot{V} < 0$ 之證明：

$$\begin{aligned} \dot{V}(t, x) &= x^T \dot{P}(t) x + x^T P(t) \dot{x} + \dot{x}^T P(t) x \\ &= x^T [\dot{P}(t) + P(t)A(t) + A^T(t)P(t)] x \\ &= -x^T Q x \leq -C_3 \|x\|_2^2 < 0 \end{aligned} \quad (5.3.20)$$

綜合以上各點知，滿足(5.2.10)之線性時變系統 $\dot{x} = A(t)x$ 在 $x = 0$ 處為(全域)漸進一致穩定。□

● 線性時變系統穩定定理 3(充分條件)

線性時變系統 $\dot{x} = A(t)x$ 在 $x = 0$ 處為指數穩定，若

$$\lambda_i(A(t)) < 0, \forall t \geq 0 \quad (5.3.21)$$

且

$$\int_0^\infty A^T(t) A(t) dt < \infty \quad (5.3.22)$$

□

● 線性時變系統穩定定理 4(充分必要條件)

線性時變系統 $\dot{x} = A(t)x$ 在 $x = 0$ 為全域一致漸進穩定，若且唯若 $A(t)$ 之傳輸矩陣 $\Phi(t, t_0)$ 滿足

$$\|\Phi(t, t_0)\| \leq K e^{-\gamma(t-t_0)}, K, \gamma > 0, \forall t \geq t_0 \geq 0 \quad (5.3.23)$$

□

其中傳輸矩陣 $\Phi(t, t_0)$ 定義成 $x(t) = \Phi(t, t_0)x(t_0)$ 。當 $A(t) = A$ 是常數矩陣時，傳輸矩陣即化成以矩陣為次方的指數函數： $\Phi(t, t_0) = e^{A(t-t_0)}$ 。

● 線性時變系統小擾動定理

在大部分的情形下，一個系統中的時變動態 $A_2(t)$ 相對於非時變動態 A_1 而言，可視為是一微小的擾動，而將其表為

$$\dot{x}(t) = (A_1 + A_2(t))x \quad (5.3.24)$$

其中 A_1 為常數矩陣且 $\lambda_i(A_1) < 0$ (即 A_1 代表穩定的非時變系統)，此時若滿足以下兩條件：

$$(a) \text{ 當 } t \rightarrow \infty \text{ 時, } A_2(t) \rightarrow 0 \quad (5.3.25a)$$

$$(b) \int_0^\infty \|A_2(t)\| dt < \infty \quad (5.3.25b)$$

則微擾系統(5.2.18)為全域指數穩定。

□

例題 5.3.4

考慮與例題 5.2.2 相同的之時變系統：

$$\begin{aligned}\dot{x}_1(t) &= -x_1(t) - e^{-2t}x_2(t) \\ \dot{x}_2(t) &= x_1(t) - x_2(t)\end{aligned}\quad (5.3.26)$$

將之重新表成如(5.3.24)式的形式：

$$\begin{bmatrix} \dot{x}_1 \\ \dot{x}_2 \end{bmatrix} = \left(\begin{bmatrix} -1 & 0 \\ 1 & -1 \end{bmatrix} + \begin{bmatrix} 0 & -e^{-2t} \\ 0 & 0 \end{bmatrix} \right) \begin{bmatrix} x_1 \\ x_2 \end{bmatrix} = (A_1 + A_2(t))x$$

其中

$$A_1 = \begin{bmatrix} -1 & 0 \\ 1 & -1 \end{bmatrix}, A_2(t) = \begin{bmatrix} 0 & -e^{-2t} \\ 0 & 0 \end{bmatrix}$$

故求得 A_1 的特徵值為 $\lambda(A_1) = -1 < 0$ (重根)，而 $A_2(t)$ 則滿足(5.3.25)式的二個條件：

$$(a) A_2(t) = \begin{bmatrix} 0 & -e^{-2t} \\ 0 & 0 \end{bmatrix} \rightarrow 0, t \rightarrow \infty,$$

$$(b) \int_0^\infty \|A_2(t)\| dt = \int_0^\infty \left\| \begin{bmatrix} 0 & -e^{-2t} \\ 0 & 0 \end{bmatrix} \right\| dt = \left\| \begin{bmatrix} 0 & -1/2 \\ 0 & 0 \end{bmatrix} \right\| < \infty$$

因此根據上述的小擾動定理，(5.3.26)式的系統為全域漸進穩定。

□

對於(5.3.26)式的時變系統，我們曾在例題 5.2.2、例題 5.3.2、例題 5.3.4 中，分別以不同的方法判斷其穩定性，均得到相同的結論：該系統為全域性一致漸進穩定。上面所提到的判斷時變系統穩定性的各種定理，大部分只是充分條件，每種定理只能適用於某類型的時變系統。對於給定的時變系統，如果 A 定理無法判斷其穩定性，就要改用 B 定理試試看。如果測試過各種定理後，仍無法判斷其穩定性，建議改採數值計算法直接求解該時變系統，畫出相平面(或相空間)軌跡，從軌跡的變化及走向判斷平衡點是否為穩定？是否為全域性？是否為一致性？是否為指數遞減？如果數值法確認系統具有某種形式的穩定性，則學理性的證明應可找得到。

表面上看起來似乎有許多定理可以判斷時變系統的穩定性，然而這些定理實際上都是由 Lyapunov 直接定理所推導出來的，而 Lyapunov 直接定理的核心步驟就是 Lyapunov 函數的選擇。關於這一點，最有系統的方法即是第 4.3 節所介紹的可變梯度法。在下面的例題中，我們將說明如何用可變梯度法決定時變系統的 Lyapunov 函數。

例題 5.3.5

考慮時變系統[6]

$$\begin{bmatrix} \dot{x}_1 \\ \dot{x}_2 \end{bmatrix} = \begin{bmatrix} 0 & 1 \\ -\frac{1}{t+1} & -10 \end{bmatrix} \begin{bmatrix} x_1 \\ x_2 \end{bmatrix} = Ax, t \geq 0 \quad (5.3.27)$$

依據可變梯度法的原則，第一步驟是先選擇梯度的形式：

$$\nabla V = \frac{\partial V}{\partial x} = \begin{bmatrix} a_{11}x_1 + a_{12}x_2 \\ a_{21}x_1 + a_{22}x_2 \end{bmatrix} \quad (5.3.28)$$

此時 \dot{V} 可寫成

$$\dot{V} = \frac{\partial V}{\partial x} \dot{x} = (a_{11}x_1 + a_{12}x_2)x_2 + (a_{21}x_1 + a_{22}x_2) \left(-\frac{1}{t+1}x_1 - 10x_2 \right) \quad (5.3.29)$$

先設定 $a_{12} = a_{21} = 0$ ，則有

$$\dot{V} = a_{11}x_1x_2 + a_{22}x_2 \left(-\frac{1}{t+1}x_1 - 10x_2 \right)$$

觀察上式為了使 $\dot{V} < 0$ ，進一步設定 $a_{11} = 1$ ， $a_{22} = t + 1$ ，此時 \dot{V} 化成

$$\dot{V} = -10(t+1)x_2^2 < 0, \forall t \geq 0 \quad (5.3.30)$$

$\dot{V} < 0$ 的條件滿足後，其次決定函數 $V(x, t)$ 的形式。將所選擇的 a_{ij} 代入(5.3.28)式，得到

$$\nabla V = \begin{bmatrix} x_1 \\ (t+1)x_2 \end{bmatrix} \quad (5.3.31)$$

再進行線積分的動作求得 $V(x, t)$:

$$\begin{aligned} V(x, t) &= \int dV = \int \nabla V \cdot dx = \int_0^{x_1} x_1 dx_1 + \int_0^{x_2} (t+1)x_2 dx_2 \\ &= \frac{1}{2}[x_1^2 + (t+1)x_2^2] > 0, \forall t \geq 0 \end{aligned} \quad (5.3.32)$$

所得到的 Lyapunov 函數 $V(x, t)$ 滿足正定的條件，而其對時間的全微分為

$$\dot{V} = x_1\dot{x}_1 + \frac{1}{2}x_2\dot{x}_2 + (t+1)x_2\dot{x}_2 = -(10t+9.5)x_2^2 < 0, \forall t \geq 0 \quad (5.3.33)$$

由於 $V > 0$ 且 $\dot{V} < 0$ ，故可判斷系統(5.3.27)為漸進穩定。不過在上述的推導過程中，細心的讀者會發現一個不相合的地方，亦即(5.3.30)式的 \dot{V} 與(5.3.33)式的 \dot{V} 有一點點的不同，到底哪一個所表示的 \dot{V} 才正確呢？(5.3.30)式的 \dot{V} 來自於(5.3.29)式，而(5.3.29)式的 \dot{V} 表示式並不完整，正確的 \dot{V} 應如(5.1.11)式所示：

$$\dot{V} = \frac{dV(x, t)}{dt} = \frac{\partial V}{\partial t} + \frac{\partial V}{\partial x} \dot{x} \quad (5.3.34)$$

(5.3.29)式少考慮了 $\partial V/\partial t$ 一項。因此(5.3.29)式或(5.3.30)式的結果只能說是一種近似。但這不影響最後的穩定性判斷，因為 Lyapunov 函數的解本就不存在標準答案，只要由(5.3.29)式出發，所得到的 V 可滿足 $V > 0$ 且 $\dot{V} < 0$ 的條件，如(5.3.32)式及(5.3.34)式所示，則可變梯度法的使用目的就達到了。至於我們為何要特意省略(5.3.34)式中的 $\partial V/\partial t$ 一項，這也有其背後的道理。可變梯度法的原始精神是透過梯度 $\nabla V = \partial V/\partial x$ 的指定，從而決定 $\dot{V} = (\partial V/\partial x)\dot{x}$ ，再經由積分的過程決定 V ，然而這樣的過程並不適用於時變系統。從(5.3.34)式可以看到，指定 V 對 x 的偏微分 $\nabla V = \partial V/\partial x$ 並不能完全決定 \dot{V} ，還要指定 V 對 t 的偏微分 $\partial V/\partial t$ 才行。但是 V 對 t 的變化相當複雜且多樣化，無法事先預測指定其可能的形式。所以較可行的做法是在(5.3.34)式中，先忽略掉 $\partial V/\partial t$ 這一項，然後再積分決定 V 。如此得到的 V 雖然只是一種近似解，但也是 V 的眾多選擇的其中之一，只要它能滿足 $V > 0$ 且 $\dot{V} < 0$ 的條件，就足以證明原時變系統為穩定了。能夠找到滿足條件的 V 才是最重要，至於 V 是用猜的，還是用近似法得到的，這中間的過程並不是那麼重要。

5.4 非線性時變系統的穩定性

在第四章所提到的 Lyapunov 間接定理中，對於非線性非時變系統 $\dot{x} = f(x)$ 的區域穩定性，吾人可以透過其線性化系統 $\dot{x} = Ax$ 的穩定性，來加以判斷；也就是說，透過 A 的特徵值的正負，就可以知道 $\dot{x} = f(x)$ 在平衡點附近的穩定性。這一方法也可以適用於非線性時變系統 $\dot{x} = f(x, t)$ ；亦即透過線性時變系統

$$\dot{x} = A(t)x, A(t) = \left. \frac{\partial f}{\partial x}(t, x) \right|_{x=0} \quad (5.4.1)$$

之穩定性來推斷 $\dot{x} = f(t, x)$ 之穩定性。而判斷上式穩定性的法則，吾人已在上一節介紹過。

第一步要先進行非線性時變系統的線性化，考慮

$$\dot{x} = f(t, x), f: n \times 1, x: n \times 1 \quad (5.4.2)$$

若函數 f 滿足下列二條件：

- (1) $f: [0, \infty) \times D \rightarrow R^n$ ，在範圍 $D = \{x \in R^n \mid \|x\|_2 < r\}$ 之內，為連續可微。
- (2) Jacobian 矩陣 $\partial f / \partial x$ 在 t 內為有界且連續且一致，亦即

$$\left\| \frac{\partial f}{\partial x}(t, x) \right\|_2 \leq K, \forall x \in 0, \forall t \geq 0 \quad (5.4.3a)$$

$$\left\| \frac{\partial f}{\partial x}(t, x_1) - \frac{\partial f}{\partial x}(t, x_2) \right\|_2 \leq l \|x_1 - x_2\|_2, \forall x_1, x_2 \in D, \forall t \geq 0 \quad (5.4.3b)$$

則 $\dot{x} = f(t, x)$ 可以線性化如下：

$$f(t, x) = f(t, 0) + \frac{\partial f}{\partial x}(t, z)x \quad (5.4.4)$$

其中 z 為連接 0 和 x 線段上之任一點。又因設 $x = 0$ 為其平衡點，故知 $f(t, 0) \equiv 0, \forall t \geq 0$ 。

現將(5.4.4)式改寫如下：

$$\begin{aligned} f(t, x) &= \frac{\partial f}{\partial x}(t, z)x \\ &= \frac{\partial f}{\partial x}(t, 0)x + \left[\frac{\partial f}{\partial x}(t, z) - \frac{\partial f}{\partial x}(t, 0) \right] x \\ &= A(t)x + g(t, x) \end{aligned} \quad (5.4.5)$$

其中 $g(t, x)$ 根據條件(5.4.3b)，需滿足

$$\|g(t, x)\|_2 \leq \left\| \frac{\partial f}{\partial x}(t, z) - \frac{\partial f}{\partial x}(t, 0) \right\|_2 \cdot \|x\|_2 \leq l \|x\|^2 \quad (5.4.6)$$

● 非線性時變系統穩定定理

若線性時變系統 $\dot{x} = A(t)x$ ，其中 $A(t) = \partial f / \partial x(t, 0)$ 在 $x = 0$ 處為一致漸進穩定，則原來之非線性系統 $\dot{x} = f(t, x)$ 在 $x = 0$ 處亦為一致漸進穩定。

證明：

設 $\dot{x} = A(t)x$ 為穩定，則由上一節的討論知，存在 P 滿足

$$-\dot{P}(t) = P(t)A(t) + A^T(t)P(t) + Q(t) \quad (5.4.7a)$$

其中

$$0 < C_1 I \leq P(t) \leq C_2 I, 0 < C_3 I \leq Q(t), \forall t \geq 0 \quad (5.4.7b)$$

前已證明 $x^T P(t)x$ 為 $\dot{x} = A(t)x$ 之 Lyapunov 函數，而實際上吾人可進一步證明 $V(t, x) = x^T P(t)x$ 亦為 $\dot{x} = f(t, x)$ 之 Lyapunov 函數，因為其滿足

(a) V 為正定且 decrescent：由(5.4.7b)式可得， $0 < C_1 \|x\|^2 \leq V(t, x) \leq C_2 \|x\|^2$ 。

(b) $\dot{V} < 0$ ：

$$\begin{aligned}
\dot{V}(t, x) &= x^T P(t) f(t, x) + f^T(t, x) P(t) x + x^T \dot{P}(t) x \\
&= x^T [P(t) A(t) + A^T(t) P(t) + \dot{P}(t)] x + 2x^T P(t) g(t, x) \\
&= -x^T Q x + 2x^T P(t) g(t, x)
\end{aligned}$$

代入(5.4.7b)式的條件得

$$\dot{V} \leq -C_3 \|x\|_2^2 + 2C_2 l \|x\|^3 \leq -(C_3 - 2C_2 l \rho) \|x\|^2, \forall \|x\| < \rho$$

因此若取 $\rho < C_3/(2C_2 l)$ ，則有 $\dot{V}(t, x) < 0$ 。結合以上條件知，若 $\dot{x} = A(t)x$ 為穩定，則非線性時變系統 $\dot{x} = f(t, x)$ 在 $x = 0$ 處，為一致漸進穩定。

□

5.5 學習評量

5.5.1 考慮一個 RLC 電路

$$\dot{x}_1 = \frac{1}{L(t)} x_2, \dot{x}_2 = -\frac{1}{C(t)} x_1 - \frac{R(t)}{L(t)} x_2$$

其中 $L(t)$ 、 $C(t)$ 、 $R(t)$ 均為時間之連續可微分函數，且滿足下列不等式

$$K_1 \leq L(t) \leq K_2, K_3 \leq C(t) \leq K_4, K_5 \leq R(t) \leq K_6, \forall t \geq 0$$

嘗試下列之 Lyapunov 函數

$$V(x, t) = \left[R(t) + \frac{2L(t)}{R(t)C(t)} \right] x_1^2 + 2x_1 x_2 + \frac{2}{R(t)} x_2^2$$

(a) 證明 $V(x, t)$ 為正定且 decrescent。

(b) 求出 $\dot{L}(t)$ 、 $\dot{C}(t)$ 、 $\dot{R}(t)$ 所要滿足的條件，使得系統在原點處可以保證為指數穩定。

5.5.2 有一非線性時變系統

$$\begin{aligned}
\dot{x}_1 &= -x_1^3 + \alpha(t)x_2 \\
\dot{x}_2 &= -\alpha(t)x_1 - x_2^3
\end{aligned}$$

其中 $\alpha(t)$ 是一連續可微函數。

(a) 證明原點是全域一致漸進穩定。

(b) 檢驗原點是否為指數穩定。

5.5.3 考慮非線性系統

$$\begin{aligned}
\dot{x}_1 &= -x_1 + (x_1^2 + x_2^2) \sin t \\
\dot{x}_2 &= -x_2 + (x_1^2 + x_2^2) \cos t
\end{aligned}$$

證明此系統在原點處為指數穩定，並估計吸引區(region of attraction)的區域。

5.5.4 有一單擺受到一隨時間的變化的摩擦力的作用，其運動方程式可表成

$$\begin{aligned}
\dot{x}_1 &= x_2 \\
\dot{x}_2 &= -\sin x_1 - g(t)x_2
\end{aligned}$$

其中 $g(t)$ 是一時間之連續可微函數，並滿足下列條件

$$0 < a < \alpha \leq g(t) \leq \beta < \infty, \dot{g}(t) \leq \gamma < 2$$

茲採用下列之 Lyapunov 函數

$$V(x, t) = \frac{1}{2} (a \sin x_1 + x_2)^2 + [1 + a g(t) - a^2] (1 - \cos x_1)$$

(a)證明 $V(t, x)$ 是正定且 decrescent。

(b)證明 $\dot{V} \leq -(\alpha - a)x_2^2 - a(2 - \gamma)(1 - \cos x_1) + O(\|x\|^3)$ ，其中 $O(\|x\|^3)$ 表某些項，其值小於 $K\|x\|^3$ 。

(c)證明原點為一致漸進穩定。

5.5.5 考慮如下之非線性時變系統

$$\begin{aligned}\dot{x}_1 &= x_2 \\ \dot{x}_2 &= -x_1 - (1 + b \cos t)x_2\end{aligned}$$

試求 b^* 的值，使得對任意 $|b| < b^*$ ，上述系統對原點恆為指數穩定。

5.5.6 對於一階的線性時變系統

$$\dot{x}(t) = -a(t)x(t)$$

其解可表為

$$x(t) = x(t_0) \exp\left(-\int_{t_0}^t a(\tau) d\tau\right)$$

其穩定性是由函數 $a(t)$ 所決定。不同的 $a(t)$ ，系統的穩定性也不同。試由 5.2 節的定理證明以下事實：

(1) Lyapunov 穩定： $a(\tau) \geq 0, \forall \tau \geq t_0$ 。

$$\text{實例：}\dot{x} = -\frac{x}{(1+t)^2}$$

(2) 漸進穩定： $\int_{t_0}^{\infty} a(\tau) d\tau = +\infty$

$$\text{實例：}\dot{x} = -\frac{x}{1+t}$$

(3) 指數穩定： $\forall \gamma > 0$ ，存在 T 使得 $\int_{t_0}^{t_0+T} a(\tau) d\tau \geq \gamma$ ，其中 γ 為收斂速率。

$$\text{實例：}\dot{x} = -tx$$

5.5.7 考慮如下的線性時變系統

$$\begin{bmatrix} \dot{x}_1 \\ \dot{x}_2 \end{bmatrix} = \begin{bmatrix} -1 & \alpha(t) \\ -\alpha(t) & -1 \end{bmatrix} \begin{bmatrix} x_1 \\ x_2 \end{bmatrix}$$

其中 $\alpha(t)$ 是任意的連續函數。證明該系統在原點處恆為指數穩定。

5.5.8 考慮如下的線性時變系統

$$\begin{bmatrix} \dot{x}_1 \\ \dot{x}_2 \end{bmatrix} = \begin{bmatrix} -2 & g(t) \\ g(t) & -2 \end{bmatrix} \begin{bmatrix} x_1 \\ x_2 \end{bmatrix}$$

其中 $g(t)$ 為連續可微函數且滿足條件 $|g(t)| \leq 1$ 。證明該系統在原點處為一致漸進穩定。

本章文獻與註解

關於時變系統的 Lyapunov 穩定性分析在以下二本較早期的專書中有詳盡的討論：

- [1] W. Hahn, Stability of Motion, Springer-Verlag, New York, 1967.
- [2] N. Rouche, P. Habets, M. Laloy, Stability Theory by Lyapunov's Direct Method, Springer-

Verlag, New York, 1977.

在 1990 年代以後的專書中，下列幾本均另闢有專章討論時變系統的 Lyapunov 穩定性：

- [3] M. Vidyasagar, Nonlinear Systems Analysis, 2nd edition, chapter 5, Prentice Hall, Englewood Cliffs, New Jersey, 1993。本章例題 5.3.3 中的時變系統引用自該書第 5 章的例題。
- [4] H. K. Khalil, Nonlinear Systems, 2nd edition, chapter 3, Prentice Hall, New Jersey, 1996。本章的例題 5.1.2、例題 5.2.3、例題 5.3.1 及學習評量中的題目大部分取材自該書。
- [5] J. J. E. Slotine, W. Li, Applied Nonlinear Control, chapter 4, Pearson, 2005。本章中的例題 5.1.3、例題 5.2.2、例題 5.2.4 及圖 5.2.2 取材自該書。
- [6] K. Ogata, Modern Control Engineering, Prentice Hall, 1970。本章中的例題 5.3.5 取材自該書。